

Projeto 3: Modelagem do Pêndulo Rotativo Quanser

Lucas Barra de Aguiar Nunes

27 de fevereiro de 2022

Sumário

1	Introdução	2
2	Modelo dinâmico do robô	3
2.1	Matriz M	4
2.1.1	Inércias	4
2.1.2	M para a junta 1	5
2.1.3	M para a junta 2	5
2.2	Matriz C	6
2.3	Vetor G	6
3	Modelo dinâmico completo	7
3.1	Motor DC	7
3.2	Equação motor e manipulador	8
4	Simulações	9
5	Conclusões	13
A	Relações úteis	14

Capítulo 1

Introdução

Esse relatório se dedica a deduzir um modelo dinâmico para o pêndulo invertido rotativo da Quanser Inc, como mostrado na figura 1.1. O sistema possui 2 juntas porém apenas a primeira, que fica perto da base, é atuada por um motor. Esse relatório é dividido em 3 partes. Na primeira, deduz-se o modelo dinâmico a partir da equação de Lagrange, na segunda, inclui-se os efeitos da dinâmica do motor e ao final, compara-se com dados obtidos experimentalmente.



Figura 1.1: Imagem do pêndulo invertido rotativo da Quanser Inc

Capítulo 2

Modelo dinâmico do robô

O sistema a ser analisado pode ser visto como um manipulador de 2 juntas e apenas a primeira é atuada. O primeiro elo (Elo 1) é um paralelepípedo enquanto o segundo é um cilindro. Para suas juntas foi definido um sistema de coordenadas arbitrário como mostrado na figura 2.1. A partir desse sistema foi possível deduzir os vetores posição do sistema em 2.1 e suas relações, dadas no apêndice e utilizadas em 2.1.2 e 2.1.2.

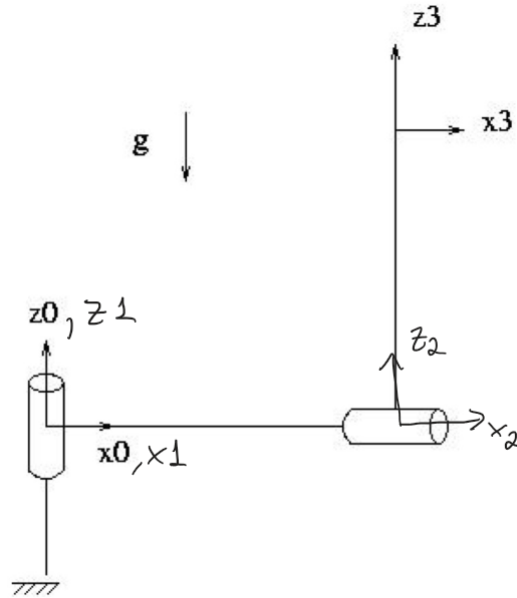


Figura 2.1: Diagrama das coordenadas do pêndulo

$$\begin{aligned}\vec{p}_{1,2} &= l_1 x_1 \\ \vec{rc}_1 &= \frac{l_1}{2} x_1 \\ \vec{rc}_2 &= \frac{l_2}{2} z_2\end{aligned}\tag{2.1}$$

Equação 2.1: Vetores posição definidos a partir do sistema de coordenadas da figura 2.1. O vetor $\vec{p}_{i,j}$ é o vetor posição das coordenadas da junta i a junta j. O vetor \vec{rc}_i é o vetor posição da junta i até o centro de massa do elo i.

Para qualquer sistema mecânico, a equação diferencial que rege seus movimentos pode ser obtida pela equação de lagrange dada pela equação 2.2, na qual o lagrangiano é definido como a energia total do sistema. Nesse caso, foram consideradas energias cinéticas e potenciais. Ao simplificar esse sistema em função do ângulo das juntas θ , obtém-se uma equação diferencial no formato dado por 2.4. A seguir calcularemos os coeficientes dessa equação.

$$\frac{d}{dt} \left(\frac{\partial L}{\partial \dot{\theta}} \right) - \frac{\partial L}{\partial \theta} = \tau \quad (2.2)$$

$$L(\theta, \dot{\theta}) = K(\theta, \dot{\theta}) - P(\theta) \quad (2.3)$$

$$M(\theta)\ddot{\theta} + C(\theta, \dot{\theta})\dot{\theta} + G = \tau \quad (2.4)$$

$$(2.5)$$

2.1 Matriz M

A matriz M é referente a dinâmica de segunda ordem das juntas e é dado pela equação a seguir. O índice i se refere a junta i e ao elo que parte dessa junta. Dessa forma M_i é a matriz M que parte do elo i e J_i é o jacobiano referente a junta i. I_i^j é referente a inércia do elo i no ponto j no seu interior, quando $j = i$ é a inércia referente ao ponto onde a junta está conectada.

$$M = \Sigma M_i \quad (2.6)$$

$$M_i = J_i^* \bar{M}_i J_i = J_i^T \bar{M}_i J_i \quad (2.7)$$

$$\bar{M}_i = \begin{pmatrix} m_i \mathcal{I} & -m_i \vec{r}_{ci} X \\ m_i \vec{r}_{ci} X & I_i^i \end{pmatrix} \quad (2.8)$$

$$J_i = \begin{pmatrix} \vec{h}_1 X \vec{p}_{1,i} & \dots & \vec{h}_{(n-1)} X \vec{p}_{1,(n-1)} & 0 & \dots & 0 \\ \vec{h}_1 & \dots & \vec{h}_{(n-1)} & \vec{h}_i & \dots & 0 \end{pmatrix} \quad (2.9)$$

2.1.1 Inércias

Com as dimensões de cada elo dadas de acordo com a tabela 2.1, é possível calcular a inércia de cada um.

	Elo 1 (Paralelepípedo)	Elo 2 (Cilindo)
Comprimento(m)	0.187	0.34
Largura/Raio(mm)	38.0	6.5
Massa(kg)	1.56	0.15

Tabela 2.1: Dimensões dos elos.

O elo 1 possui base quadrada b e comprimento L. Devido a sua conexão à junta 1, esse elo irá girar ao redor do seu comprimento que, referente a junta 1, é o eixo x. Dessa forma, em relação ao seu centro de massa, obtemos o valor em 2.11. Como o elo é simétrico, o seu centro de massa fica no meio das suas 3 dimensões, logo, $\|\vec{r}_{c1}\| = \frac{l}{2} = 0.0935$.

$$I^c = \frac{m}{12} \begin{pmatrix} 2b^2 & 0 & 0 \\ 0 & l^2 + b^2 & 0 \\ 0 & 0 & l^2 + b^2 \end{pmatrix} \quad (2.10)$$

$$I^c = \begin{pmatrix} 0.0602 & 0 & 0 \\ 0 & 0.7586 & 0 \\ 0 & 0 & 0.7586 \end{pmatrix} 10^{-3} kg/m^2 \quad (2.11)$$

O elo 2 possui base circular de raio r e comprimento L. Devido a sua conexão à junta 2, esse elo irá girar ao redor do seu comprimento que, referente a junta 2, é o eixo z. Dessa forma, em relação ao seu centro de massa,

obtemos o valor em 2.13. Como o elo é simétrico, o seu centro de massa fica no meio das suas 3 dimensões, logo, $||\vec{r}\vec{c}_2|| = \frac{l}{2} = 0.1700$.

$$I^c = \frac{m}{12} \begin{pmatrix} 3r^2 + L^2 & 0 & 0 \\ 0 & 3r^2 + L^2 & 0 \\ 0 & 0 & 6r^2 \end{pmatrix} \quad (2.12)$$

$$I^c = \begin{pmatrix} 1.4 & 0 & 0 \\ 0 & 1.4 & 0 \\ 0 & 0 & 3.17e-3 \end{pmatrix} 10^{-3} kg/m^2 \quad (2.13)$$

2.1.2 M para a junta 1

Abaixo é possível ver o cálculo de M_1 , as relações usadas na simplificação podem ser vistas no apêndice A.

$$J_1 = \begin{pmatrix} 0 & 0 \\ z_1 & 0 \end{pmatrix} \quad (2.14)$$

$$M_1 = \begin{pmatrix} 0 & z_1^T \\ 0 & 0 \end{pmatrix} \begin{pmatrix} m_1 \mathcal{I} & -m_i \vec{r}_{c1} X \\ m_1 \vec{r}_{c1} X & I_1^1 \end{pmatrix} \begin{pmatrix} 0 & 0 \\ z_1 & 0 \end{pmatrix} \quad (2.15)$$

$$M_1 = \begin{pmatrix} z_1^T I_1^1 z_1 & 0 \\ 0 & 0 \end{pmatrix} = \begin{pmatrix} I_{zz}^c + m_1 \frac{l_1^2}{4} & 0 \\ 0 & 0 \end{pmatrix} \quad (2.16)$$

$$M_1 = \begin{pmatrix} 0.0029 & 0 \\ 0 & 0 \end{pmatrix} \quad (2.17)$$

2.1.3 M para a junta 2

Abaixo é possível ver o cálculo de M_2 , as relações usadas na simplificação podem ser vistas no apêndice A.

$$J_2 = \begin{pmatrix} z_1 X \vec{p}_{1,2} & 0 \\ z_1 & x_2 \end{pmatrix} \quad (2.18)$$

$$M_2 = \begin{pmatrix} (z_1 X \vec{p}_{1,2})^T & z_1^T \\ 0 & x_2^T \end{pmatrix} \begin{pmatrix} m_2 \mathcal{I} & -m_i \vec{r}_{c2} X \\ m_2 \vec{r}_{c2} X & I_2^2 \end{pmatrix} \begin{pmatrix} z_1 X \vec{p}_{1,2} & 0 \\ z_1 & x_2 \end{pmatrix} \quad (2.19)$$

$$M_2 = \begin{pmatrix} A & B \\ C & D \end{pmatrix} \quad (2.20)$$

$$A = (z_1 X \vec{p}_{1,2})^T [m_2 (z_1 X \vec{p}_{1,2} - \vec{r}_{c2} X z_1)] - m_2 z_1^T r_{c2} X ((z_1 X \vec{p}_{1,2}) + z_1^T I_2^2 z_1) \quad (2.21)$$

$$= m_2 l_1^2 + z_1^T R_{12} I_2^2 R_{12}^T z_1 - m_2 \sin(\theta_2) \frac{l_2}{4} \quad (2.22)$$

$$B = -m_2 (z_1 X \vec{p}_{1,2})^T (\vec{r}_{c2} X x_2) - z_1^T I_2^2 x_2 \quad (2.23)$$

$$= -\frac{m_2 \cos(\theta_2) l_1 l_2}{2} \quad (2.24)$$

$$C = m_2 x_2^T [\vec{r}_{c2} X (z_1 X \vec{p}_{1,2})] + x_2^T I_2^2 z_1 \quad (2.25)$$

$$= -\frac{m_2 \cos(\theta_2) l_1 l_2}{2} \quad (2.26)$$

$$D = x_2^T I_2^2 x_2 \quad (2.27)$$

$$= I_{xx}^c + \frac{m_2 l_2^2}{4} \quad (2.28)$$

$$M_2 = \begin{pmatrix} 0.0188 \sin(\theta_2)^2 + 0.00525 & -0.00477 \cos(\theta_2) \\ -0.00477 \cos(\theta_2) & 0.00578 \end{pmatrix} \quad (2.29)$$

2.2 Matriz C

A matriz C considerada nesse modelo é referente as forças de corioli do sistema e é calculada de acordo com 2.31.

$$M_D(\theta, \dot{\theta}) := \begin{pmatrix} \frac{\partial M}{\partial \theta_1} \dot{\theta} & \frac{\partial M}{\partial \theta_2} \dot{\theta} \end{pmatrix} \quad (2.30)$$

$$C(\theta, \dot{\theta}) = (M_D(\theta, \dot{\theta}) - \frac{1}{2} M_D^T(\theta, \dot{\theta})) \dot{\theta} \quad (2.31)$$

Substituindo

$$C(\theta, \dot{\theta}) = \begin{pmatrix} 0 & 0.00477\dot{\theta}_2 \sin(\theta_2) + 0.0376\dot{\theta}_1 \cos(\theta_2) \sin(\theta_2) \\ -0.00238\dot{\theta}_2 \sin(\theta_2) - 0.0188\dot{\theta}_1 \cos(\theta_2) \sin(\theta_2) & 0.00238\dot{\theta}_1 \sin(\theta_2) \end{pmatrix} \quad (2.32)$$

2.3 Vetor G

O vetor G se refere as forças gravitacionais que agem sobre os elos e é dado pela equação 2.39. Nela o vetor $\vec{p}_{0,i}^c$ representa o vetor posição do sistema 0 até o centro de massa do elo i.

$$g(\theta) = -\Sigma m_i \vec{g}^T \vec{p}_{0,i}^c \quad (2.33)$$

$$g(\theta) = -m_1 \vec{g}^T \vec{r}\vec{c}_1 - m_2 \vec{g}^T (\vec{p}_{1,2} + \vec{r}\vec{c}_2) \quad (2.34)$$

$$\vec{g}^T \vec{r}\vec{c}_1 = 0 \quad (2.35)$$

$$\vec{g} = -gz_1 \quad (2.36)$$

$$g(\theta) = m_2 g (l_1 z_1^T x_1 + \frac{l_2}{2} z_1^T z_2) \quad (2.37)$$

$$g(\theta) = m_2 g \frac{l_2}{2} \cos(\theta_2) \quad (2.38)$$

$$G(\theta) = \vec{\nabla} g \quad (2.39)$$

$$G(\theta) = \begin{pmatrix} 0 \\ -m_2 g \frac{l_2}{2} \sin(\theta_2) \end{pmatrix} \quad (2.40)$$

Capítulo 3

Modelo dinâmico completo

Nessa etapa vamos desenvolver a dinâmica do motor DC que gera o torque necessário para o movimento das juntas e englobar na dinâmica do pêndulo de forma que ao final tenhamos uma diferencial em função da tensão no motor como entrada do sistema.

3.1 Motor DC

Para o Pêndulo Rotativo Quanser as constantes do sistema são dadas de acordo com a tabela 3.1.

Tensão Nominal	12V
Constante de Torque (K_m)	0.00767N.m/A
Reação de armadura (K_e)	0.00767vV.s/rad
Resistência de Armadura (R_a)	2.6Ω
Indutância de Armadura (L_a)	0.18mH
Inércia de Armadura (J_a)	3.89e-7Kgm ²
Redução (K_r)	70
Inércia das engrenagens (J_j)	2.8e-6 + 2.27e-5 + 5e-7Kgm ²

Tabela 3.1: Constantes do motor.

Em um motor controlado por armadura, temos que o seu torque (τ_m) é proporcional a corrente, dessa forma, podemos obter a dinâmica entre tensão e torque.

$$i_a = \frac{V_a - E_a}{R_a + L_a s} \quad (3.1)$$

$$\frac{L_a}{R_a} \ll 1 \quad (3.2)$$

$$i_a = \frac{V_a - E_a}{R_a} \quad (3.3)$$

$$\tau_m = K_m i_a \quad (3.4)$$

$$E_a = K_m \dot{\theta}_m \quad (3.5)$$

Substituindo

$$\tau_m = \frac{K_m}{R_a} V_a - \frac{K_m^2}{R_a} \dot{\theta}_m \quad (3.6)$$

$$(3.7)$$

Como existe uma redução por um sistema de engrenagens, o torque que o manipulador recebe não é diretamente τ_m , assim, é necessário levar em conta essa redução e a inércia do sistema de engrenagens e do próprio motor. Ao

aplicar as relações de redução, obtemos a dinâmica em 3.15 no espaço das juntas.

$$\tau_1 = K_r \tau_m \quad (3.8)$$

$$\theta_m = K_r \theta_1 \quad (3.9)$$

$$J_T := J_j + (K_r^2) J_a \quad (3.10)$$

$$\tau_1 = K_r \tau_m - J_T \ddot{\theta}_1 \quad (3.11)$$

$$\tau_m = \frac{K_m}{R_a} V_a - \frac{K_m^2}{R_a} \dot{\theta}_m \quad (3.12)$$

$$\tau_1 = \frac{K_r K_m}{R_a} V_a - \frac{K_m^2 K_r^2}{R_a} \dot{\theta}_1 - J_T \ddot{\theta}_1 \quad (3.13)$$

$$\text{Seja } M_m \ddot{\theta}_1 + C_m \dot{\theta}_1 = V_m \vec{V}_a - \tau \quad (3.14)$$

$$\begin{pmatrix} J_T & 0 \\ 0 & 0 \end{pmatrix} \ddot{\theta} + \begin{pmatrix} \frac{K_m^2 K_r^2}{R_a} & 0 \\ 0 & 0 \end{pmatrix} \dot{\theta} = \begin{pmatrix} \frac{K_r K_m}{R_a} & 0 \\ 0 & 0 \end{pmatrix} \vec{V}_a - \tau \quad (3.15)$$

3.2 Equação motor e manipulador

Somando 2.4 com 3.15, obtemos a dinâmica final entre tensão e juntas do manipulador.

$$(M + M_m) \dot{\theta} + (C + C_m) \dot{\theta} + G = V_m \vec{V}_a \quad (3.16)$$

$$\begin{pmatrix} 0.0188 \sin(\theta_2)^2 + 0.00962 & -0.00477 \cos(\theta_2) \\ -0.00477 \cos(\theta_2) & 0.00578 \end{pmatrix} \ddot{\theta}_1 + \quad (3.17)$$

$$\begin{pmatrix} 0.111 & 0.00477 \dot{\theta}_2 \sin(\theta_2) + 0.0376 \dot{\theta}_1 \cos(\theta_2) \sin(\theta_2) \\ -0.00238 \dot{\theta}_2 \sin(\theta_2) - 0.0188 \dot{\theta}_1 \cos(\theta_2) \sin(\theta_2) & 0.00238 \dot{\theta}_1 \sin(\theta_2) \end{pmatrix} \dot{\theta}_1 + \quad (3.18)$$

$$\begin{pmatrix} 0 \\ -m_2 g \frac{l_2}{2} \sin(\theta_2) \end{pmatrix} = \begin{pmatrix} 0.2065 & 0 \\ 0 & 0 \end{pmatrix} \vec{V}_a \quad (3.19)$$

Capítulo 4

Simulações

Para avaliar o modelo teórico desenvolvido até esse ponto, as equações 2.4 e 3.15 foram implementadas no matlab via simulink. A implementação pode ser vista [aqui](#). O processo de avaliação se deu realizando as mesmas operações no pendulo real em laboratório, medindo o ângulo das juntas e comprando o resultado obtido pelas simulações. Os resultados podem ser vistos nas figuras a seguir.

Em uma primeira análise, é claro que os gráficos de dados experimentais e simulados não são iguais. Na figura 4.1 os dados experimentais oscilam enquanto os simulados são estáveis em zero. A distinção, entretanto, é comparável. O ponto inicial em zero é um ponto de equilíbrio instável, qualquer valor fora do nulo, seja ele tao proximo quanto seja de zero, é instável e leva o sistema a responder, facneod com que ele se afaste desse equilíbrio. No caso da simulação, como não há ruídos ou qualquer perturbação, o sistema consegue se manter perfeitamente em zero e não oscila, porém, em um caso real isso não é possível. Imprecisões e perturbações no ambiente não permitem colocar o pendulo em zero perfeitamente e nem mantê-lo nesse ponto e, conseqüentemente, o sistema oscila até $\theta_2 = \pi rad$, posição do pendulo em equilíbrio estável.

Na figura 4.2 existe uma distinção nas simulações quanto a estabilidade do sistema. Nos dados experimentais existe uma oscilação decrescente enquanto na simulação a oscilação é constante. Tal efeito ocorre devido a atritos. No instante inicial dos dados experimentais é possível ver que não existe uma resposta instantânea das juntas, elas apresentam certa constância como consequência da resistência do atrito até oscilarem. O atrito dissipa a energia do sistema e ele estabiliza. Como as energias consideradas no modelo do lagrangiano em 2.3 foram apenas as energias cinéticas e potencial, o sistema simulado oscila indeterminadamente.

Por último, na figura 4.3 ambos os resultados oscilam e estabilizam no mesmo ponto. O efeito de estabilização no modelo simulado ocorre pois, nesse caso, o motor está acoplado ao sistema do pendulo. Devido a reação de armadura oposta ao movimento das juntas, quando a junta 1 oscila, a armadura gera um torque na direção oposta ao movimento até que o sistema se estabiliza em $\theta_2 = \pi rad$. No entanto, como ainda existe atrito no modelo experimental e não no simulado, as oscilações decrescem diferentemente em frequências distintas.

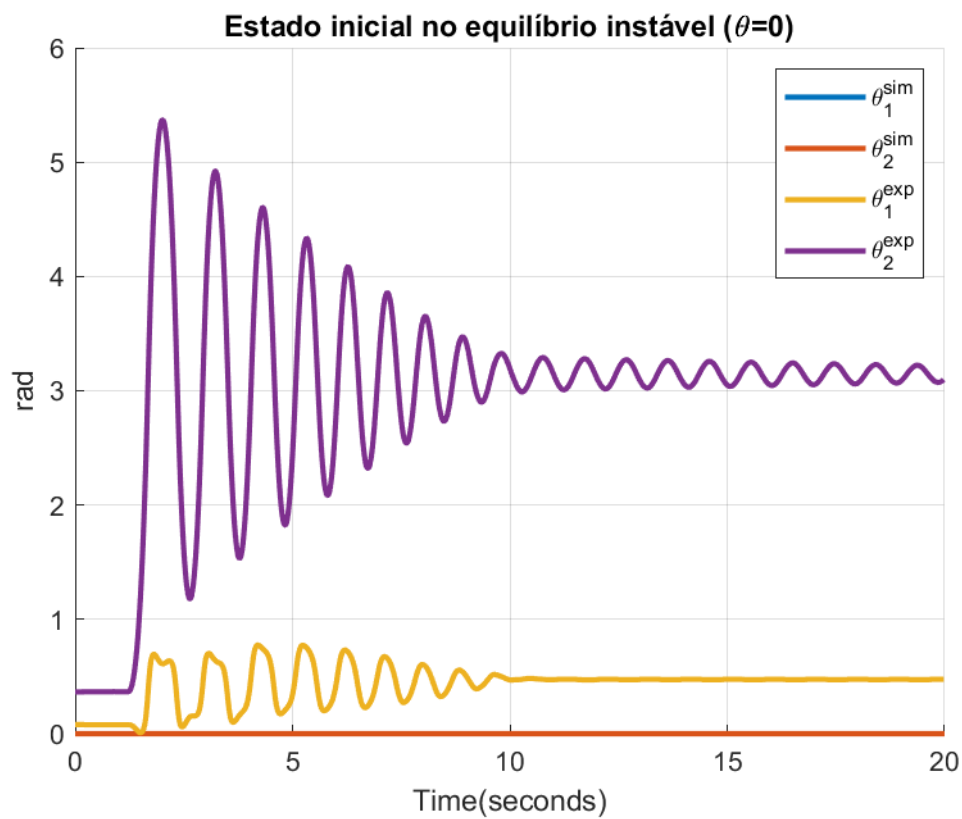


Figura 4.1: Teste 1 - Variação de θ em função do tempo quando o pêndulo, desconectado do motor, é solto da vertical. Para isso foi utilizada a equação 2.4 com entradas em zero. Os valores experimentais possuem sobrescrito "exp" e os simulados "sim".

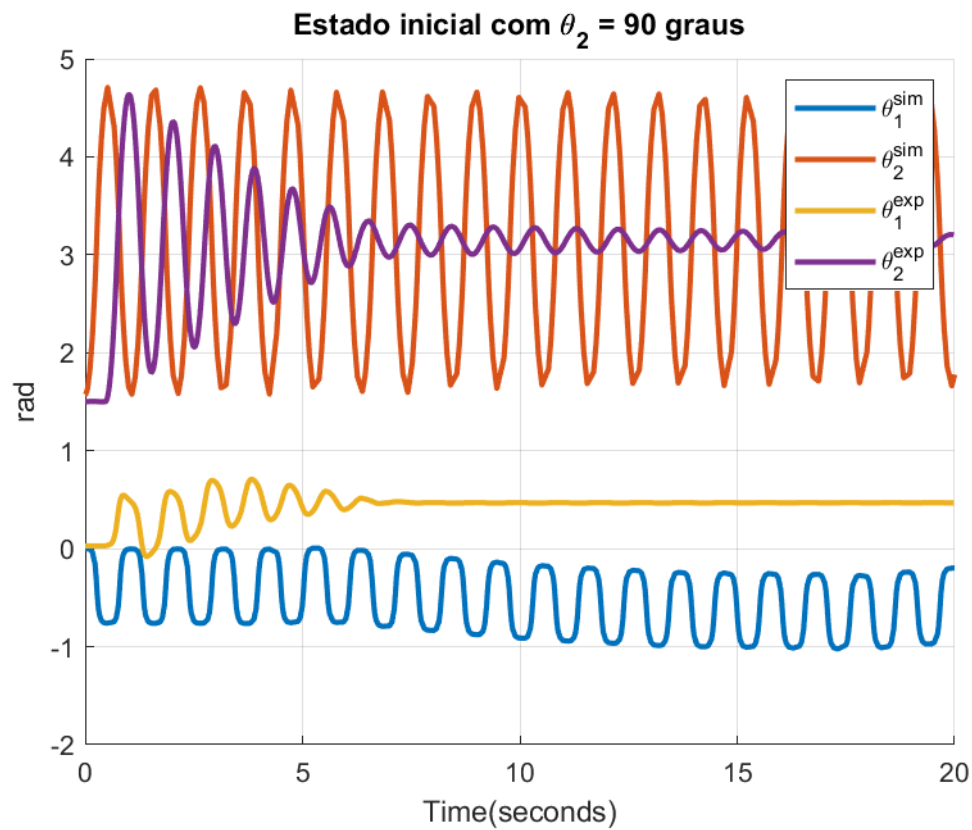


Figura 4.2: Teste 2 - Variação de θ em função do tempo quando o pêndulo, desconectado do motor, é solto na horizontal ($\theta_2 = 90^\circ$). Para isso foi utilizada a equação 2.4 com entradas em zero. Os valores experimentais possuem sobrescrito "exp" e os simulados "sim".

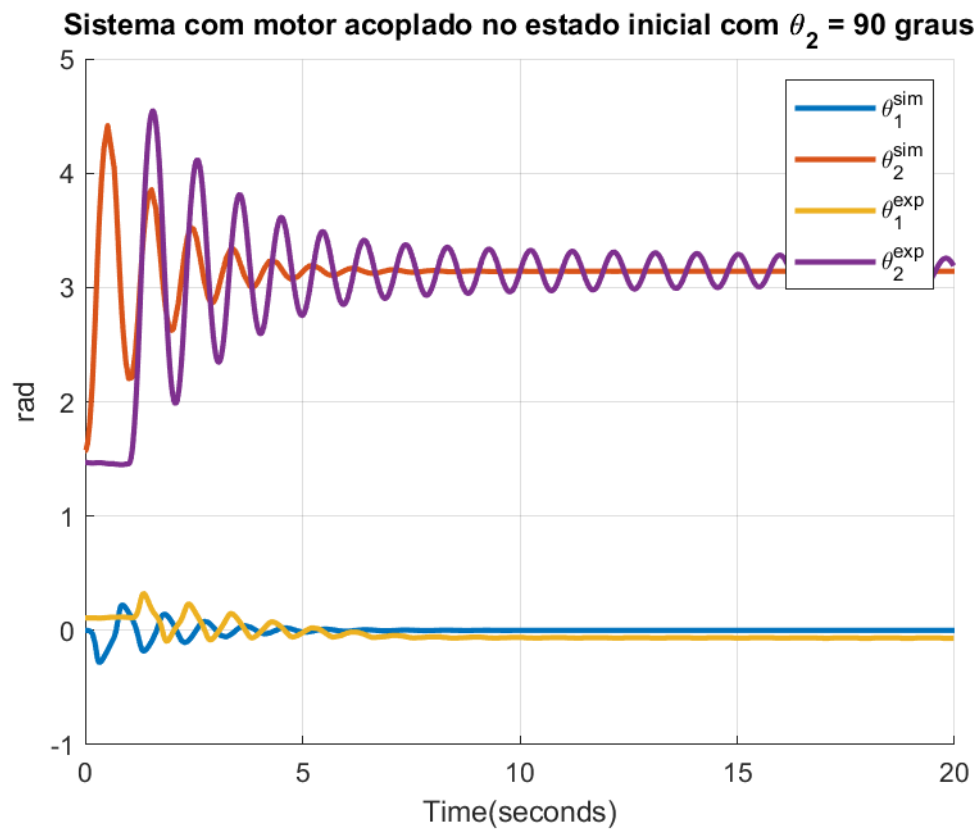


Figura 4.3: Teste 3 - Variação de θ em função do tempo quando o pêndulo, conectado ao motor, é solto na horizontal ($\theta_2 = 90^\circ$). Para isso foi utilizada a equação 3.15 com entradas em zero. Os valores experimentais possuem sobrescrito "exp" e os simulados "sim".

Capítulo 5

Conclusões

Esse relatório decorreu sobre a modelagem de robôs por meio de um pêndulo invertido levando em conta os motores que estão acoplados a suas juntas. Em comparação a dados simulados, pode-se ver efeitos de atrito e de reação de armadura do motor que alteram o comportamento do sistema.

Apêndice A

Relações úteis

$$z_1^T x_2 = 0 \quad (\text{A.1})$$

$$y_1^T y_2 = z_1^T z_2 = \cos(\theta_2) \quad (\text{A.2})$$

$$z_1 X \vec{p}_{1,2} = l_1 y_1 \quad (\text{A.3})$$

$$\vec{r}\vec{c}_2 X z_1 = -\frac{l_2}{2} \sin(\theta_2) x_1 \quad (\text{A.4})$$

$$\vec{r}\vec{c}_2 X y_1 = -\frac{l_2}{2} \cos(\theta_2) x_1 \quad (\text{A.5})$$

$$\vec{r}\vec{c}_2 X x_2 = \frac{l_2}{2} y_2 \quad (\text{A.6})$$

$$z_1^2 = R_{12}^T z_1^1 \quad (\text{A.7})$$

$$I_i^i = I_i^c - m_i (\vec{r}\vec{c}_i \vec{r}\vec{c}_i^T - \|\vec{r}\vec{c}_i\|^2 \mathcal{I}) \quad (\text{A.8})$$

$$z_1^T I_2^2 z_1 = z_1^T I_2^c z_1 - m (z_1^T \vec{r}\vec{c}_1)^2 + m_1 \|\vec{r}\vec{c}_1\|^2 \quad (\text{A.9})$$

$$= I_{zz}^c + m_1 \frac{l_1^2}{4} \quad (\text{A.10})$$

$$\alpha^T I_i^i \beta = 0 \quad \text{quando } \alpha^T \beta = 0 \quad (\text{A.11})$$